

مجموعه مقالات اولین کنفرانس بین المللی تهیه مطبوع و تاسیسات حرارتی و برودتی

۳۱ اردیبهشت ۱۳۹۴، ایران، تهران، مرکز همایش‌های صدا و سیما

مجری: انجمن علمی مهندسی حرارتی و برودتی ایران

HVACconf-IRSHRAE-1-022

بررسی تجربی و تئوری انتقال جرم و حرارت و بازده سرمایشی در یک کولر آبی تبخیری تولیدی ایران

بهزاد امیدی کاشانی، استادیار گروه مکانیک، دانشکده مهندسی، دانشگاه بیرجند؛ b.kashani@birjand.ac.ir

به دلایل زیر توجه اصلی در کار فعلی بر روی کولر آبی تبخیری مستقیم با پوشال از جنس تراشه چوبی می‌باشد:

- از آنجاییکه امکان استفاده از محیط‌های سلولزی مرتبط با توجه به ناصافی و سنگینی آب لوله مصرفی در عمدۀ نقاط کشور وجود نداشته و قیمت بالاتر آنها نسبت به پوشال از جنس تراشه چوبی بالاتر است و عمدۀ مصرف کنندگان از پوشال با جنس تراشه چوبی استفاده می‌کنند. برای تعیین بازده و بار سرمایشی دستگاه، بررسی پارامترهای اصلی موثر بر عملکرد کولر تبخیری آبی لازم می‌باشد. کاچوهو و همکارانش [5] اثر ضخامت و ارتفاع محیط خیس³ را در یک نوع کولر آبی مستقیم تبخیری خانگی برای بهینه سازی بازده و بار سرمایشی با کمک معادلات انتقال حرارت و جرم بررسی کرده‌اند. سوهینگ و همکارانش [6] اثر عواملی از قبیل دبی هوای عبوری، دبی آب عبوری (آب سیرکولاسیون) از روی محیط خیس، جنس و ضخامت محیط خیس را بر روی بازده سرمایشی و ضرائب انتقال حرارت و انتقال جرم بررسی کرده‌اند.

اندوکا و همکارانش [7] بازده های سرمایشی (با تعریف درصد تبخیر) تئوری و تجربی را در یک کولر تبخیری آبی مستقیم در طی ساعات مختلف روز که دمای خشک و رطوبت نسبی هوای اتمسفر (ورودی به کولر) تغییر می‌کنند، به دست آورده‌اند. برای فرض فرآیند عایق در کولر، علاوه بر عایق بودن کامل کولر، فرض شده که آب تغذیه شده به کولر باید دارای دمایی برابر با دمای خشک هوای خروجی از کولر باشد ولی در شرایط واقعی کولر عایق بوده و دمای آب تغذیه شده به کولر برابر دمای مرطوب هوای ورودی می‌باشد باشد [8]. در شرایط واقعی و در کار فعلی آب پیوسته توسط پمپ آب سیرکولاسیون به پوشال‌ها فرستاده شده و هیچ کنترلی بر روی دمایی آب تغذیه و هوای ورودی به کولر انجام نشده و این عوامل بر کارکرد کولر آبی تبخیری مبنی بر فرض عایق بودن فرآیند سرمایش در آن تاثیر دارند. کیم بال و همکارانش [9] برای کولرهای تبخیری آبی با پوشال چوبی معادلاتی را برای ضرائب انتقال حرارت جابجایی برای هوا و بخار آب (غازی) و همینطور برای آب (غاز مایع) روی پوشال چوبی بدست آورده‌اند. در کار فعلی بنا بر اطلاعات حاصله از کارهای اشاره شده در بالا [5-9]، بازده و بار سرمایشی و ضرائب انتقال حرارت و جرم در کولرهای آبی مستقیم با پوشال چوبی محاسبه شده و نتایج تئوری حاصله با مقایسه با نتایج تجربی حاصله از کار فعلی ارزیابی می‌شوند. اثر تغییر مقدار هوادهی کولر (دور تند و کند موتور کولر)، دمای خشک و رطوبت نسبی محیط اتمسفر بر روی ضرائب انتقال حرارت و جرم، آهنگ تبخیر، بازده سرمایش و بار سرمایش در طی ساعات مختلف روز در طی آزمایش بررسی شده‌اند. همچنین صحت ظرفیت هوادهی کولر مورد آزمایش موربد بحث و نتیجه گیری قرار گرفته است.

چکیده

مشکل کم آبی در کشور از یک طرف و استفاده این وسیله در مناطق وسیعی از کشور از طرف دیگر، دلایل اصلی این تحقیق می‌باشد. در کار فعلی مشخصات برق مصرفی و اکثر مشخصات ترمودینامیکی مهم دو سیال کارکننده (آب مصرفی و هوای گذری از کولر) در کولر آبی در طی ۹ ساعت روز به طور منظم و پیوسته اندازه گیری و ثبت شده است. بازده سرمایشی دستگاه بر حسب تعاریف علمی موجود در سطح دنیا و همچنین طبق استانداردهای تدوین شده سازمان ملی استاندارد ایران به صورت عملی و تئوری برای شرایط کاری مختلف (دورهای مختلف موتور کولر) برای ساعت مخفلف روز محاسبه شده است. همچنین بر اساس اصول انتقال جرم، آهنگ تبخیر آب به صورت تئوری محاسبه و با مقادیر تجربی حاصله از این کار فعلی مقایسه شده است. ضرایب انتقال حرارت جابجایی h_m و انتقال جرم $h_{m\text{h}}$ برای پوشال‌های موجود از جنس تراشه های چوبی به صورت تئوری محاسبه شده است.

شرایط کارکرد کولر کاملاً واقعی و به دور از شرایط صرفاً تحقیقاتی و آزمایشگاهی (سکون) بوده و آزمایش‌ها در ماه‌های تیر و مرداد سال ۱۳۹۳ در شهر بیرجند - خراسان جنوبی انجام شده است. از نتایج عمدۀ این تحقیق می‌توان به تطابق خوب بین مقادیر تئوری و تجربی بازده های سرمایشی و به اختلاف قابل ملاحظه موجود بین مقدار نامی هوادهی با مقدار هوادهی تئوری حاصله از کار فعلی برای کولر مورد نظر اشاره کرد.

۱- مقدمه

از کولرهای تبخیری تولیدی ایران همگی از نوع تبخیری مستقیم (DEC)¹ می‌باشند. عمدۀ پوشال‌های بکار رفته در کولرهای داخل کشور از جنس تراشه های چوبی² می‌باشند. کولرهای آبی با کاربرد خانگی دارای گستره m^3 از نظر مقدار هوادهی از m^3 تا $2000 \frac{m^3}{hr}$ $11000 \frac{m^3}{hr}$ می‌باشند. عمدۀ این کولرهای از یک سایز پمپ سیرکولاسیون آب برای رساندن آب بر بالای سر پوشال‌ها استفاده می‌کنند. کارهای فراوانی برای افزایش بازده سرمایشی یا عملکردی در این کولرهای انجام شده است. از جمله این کارهای می‌توان به موارد زیر اشاره کرد:

۱- بررسی فنی و اقتصادی روش‌ها و منابع افزایش کارایی مصرف انرژی در کولرهای آبی [1]

۲- استفاده از صفحات سلولزی [2]

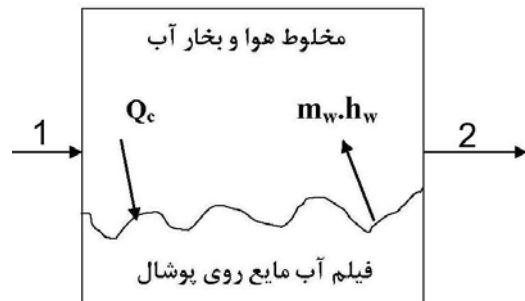
۳- استفاده از سیستم تبخیری غیر مستقیم (IDEC)³ [3] و استفاده از وسایل بهبود دهنده فرآیند انتقال حرارت از جمله محیط‌های متخلخل با جنس سرامیکی یا دیگر مواد در این کولرهای [4].

³ In-direct Evaporative cooler

⁴ Wetted pad

¹ Direct Evaporative Cooler

² Shaven Wood یا Excelsior Wood



تغذیه برای مصرف کولر فرض می شود که دارای دمای مرطوب مربوط به شرایط هوای خروجی از کولر می باشد ولی در فرآیند واقعی، کولر کاملاً عایق نبوده و آب تغذیه کولر دارای دمای برابر با دمای مرطوب مربوط به شرایط هوای ورودی به کولر می باشد [6].

با فرض ثابت ماندن دما در روی فیلم آب در مجاورت پوشال می توان برای

$$\text{ضریب انتقال حرارت جابجایی برای مخلوط هوا و بخار آب} = \frac{\dot{m}_a C_{pa}(T_{a1}-T_{a2}) + \dot{m}_a C_{pv}[W_1(T_{a1}-T_w) - W_2(T_{a2}-T_w)]}{h_c \cdot A_s} \quad (3)$$

برای ΔT_{lm} به شرح زیر می توان داشت:

$$\Delta T_{lm} = \frac{(T_{a2}-T_{a1})}{\left[\ln \left(\frac{(T_{a2}-T_w)}{(T_{a1}-T_w)} \right) \right]} \quad (4)$$

برای ضریب انتقال جرم با کمک آنالیز رینولدز (و فرض عدد لوییز برابر واحد) می توان داشت [6]:

$$\frac{(h_c \cdot A_s)}{(h_m \cdot A_s) \cdot C_{pa}} = L e^{2/3} = 1.0 \quad (5)$$

چون ظرفیت گرمایی هوای خشک نیز حدود $K = 1$ می باشد، لذا مقادیر ضریب انتقال حرارت جابجایی با ضریب انتقال جرم در سطح مفید پوشال با هم برابر بوده و در این مقاله نتایج حاصله برای این دو به صورت یکسان می باشند.

۲-۱- بازده سرمایشی

با توجه به شکل ۲، ظرفیت حرارتی ویژه برای مخلوط هوای خشک و بخار آب در مجاورت فیلم آب مایع به صورت زیر پیدا می شود [10]:

$$C_{pu} = C_{pa} + W \cdot C_{pv} \quad (6)$$

C_{pa} با واحد $\left[\frac{kJ}{kg \cdot K} \right]$ از معادلات زیر پیدا می شوند:

$$C_{pa} = 1.005 + 1.35 \times (T + 30)^2 \quad (7)$$

$$C_{pv} = 1.8684 + 0.0095 \left(\frac{T}{100} \right) + 0.00373 \left(\frac{T}{100} \right)^2 \quad (8)$$

که دمای خشک مربوطه می باشد. با کمک معادله (8) انتقال حرارت محسوس به شرح زیر محاسبه می شود:

$$\delta Q_c = \dot{m}_a C_{pu} dT = h_c dA (T_w - T) \quad (9)$$

که T و T_w به ترتیب دمای فیلم آب بر روی پوشال و دمای مخلوط هوای خشک و بخار آب در مجاورت پوشال آب می باشند. با انتگرال گیری برای کل سطح پوشال و با در نظر گرفتن تغییرات دمای خشک هوای ورود و خروج می توان داشت:

$$\frac{h_c}{\dot{m}_a C_{pu}} \int_0^A dA = \int_{T_1}^{T_2} \frac{dT}{(T_w - T)} \quad (10)$$

با بیان تعریف اثر پذیری برای یک کولر آبی تبخیری مستقیم (ε) به شرح زیر می توان داشت:

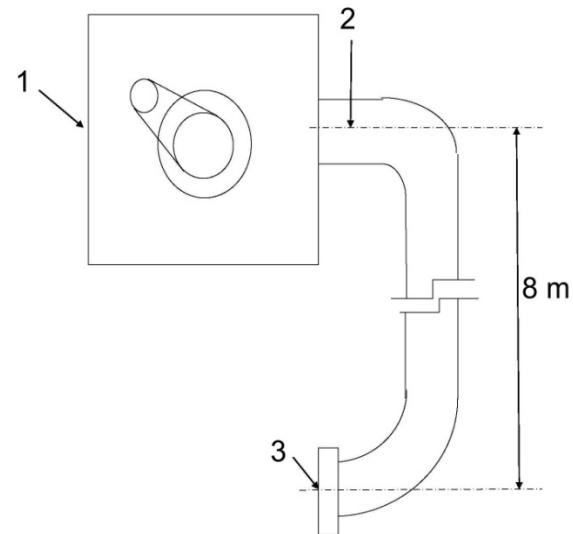
$$\varepsilon = \frac{T_1 - T_2}{T_1 - T_w} \quad (11)$$

سپس با انتگرال گیری از رابطه (10)، می توان داشت:

۲- کار فعلی

۲-۱ معادلات حاکم

نمای کولر آبی مورد آزمایش واقع در پشت بام یک ساختمان مسکونی در شهرستان بیرون - استان خراسان جنوبی در شکل ۱ آورده شده است. مشخصات هوای اتمسفر از جمله دمای خشک و رطوبت نسبی هوای شرایط ورود به کولر آبی واقع در موقعیت ۱ و هوای خروجی از کولر در موقعیت ۲ و هوای خروجی از دریچه کانال کولر توسط یک دستگاه از دریچه کانال هوای (نقطه ۳) نمی باشد، به طور همزمان در ساعت معین روز ثبت معمولی ۱۰۰۰ لیتر در کل زمان آزمایش در زمان های تعیین شده موقوت و ثبت شده است.



شکل ۱: نمای کولر آبی مورد آزمایش

طابیق شکل ۲، از معادله بقاء جرم برای مخلوط هوا و بخار آب در مجاورت فیلم آب مایع روی پوشال می توان داشت [6]:

$$\dot{m}_{w,s} = \dot{m}_{v2} - \dot{m}_{v1} = \dot{m}_a (W_2 - W_1) \quad (1)$$

برای معادله بقاء انرژی داریم:

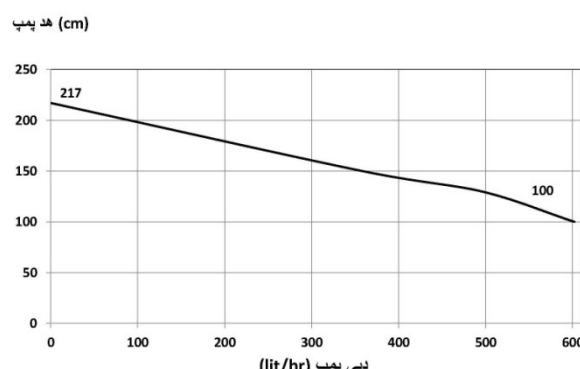
$$(\dot{m}_a \cdot h_{a2} + \dot{m}_{v2} h_{v2}) - (\dot{m}_a h_{a1} + \dot{m}_{v1} h_{v1}) = \dot{m}_{w,s} h_v - \dot{Q}_c \quad (2)$$

مخلوط هوای و بخار آب در نزدیکی فیلم آب مایع حرارت محسوس را به مایع منتقل کرده (علامت \dot{Q}_c منفی) و جرم بخار شده از آب مایع را به همراه انرژی بخار (علامت h_v مثبت) از فیلم آب مایع تحويل می گیرد.

شکل ۲: تبدیل حرارت و جرم بین فیلم آب مایع و مخلوط هوا و بخار آب

مقدار h_v انتالپی بخار آب در متوسط دمای خشک ورود و خروج از کولر می باشد. حاصل سمت را سمت تقریباً در سرمایش عایق صفر است. در فرآیند تبخیر سرمایشی عایق، اولاً فرض بر عایق بودن کولر است و ثانیاً آب

در پشت بام یک ساختمان سه طبقه ای بالای پیلوت واقع شده و واحد مسکونی مرتبط با کولر در طبقه اول بالای پیلوت یعنی در ارتفاع ۸ متر زیر موقعیت کولر واقع است. آزمایشات در ماه های تیر و مرداد سال ۱۳۹۳ در شهرستان بیرون واقع در استان خراسان جنوبی در خانه شخصی نویسنده در شرایط کاملاً واقعی به همراه نفرات ساکن در واحد مسکونی انجام گرفته است. شرایط باز و بسته بودن در و پنجه های واحد مسکونی در کل طول آزمایشات (برای دور کند و تند موتور کولر) همواره یکسان نگه داشته شده است. بر سر راه آب تغذیه کولر فوق یک کنتور آب به طور مجزا نصب شده (مورد تایید سازمان آب) استفاده شده است. دمای خشک و رطوبت نسبی مطابق شکل ۱ در موقعیت های ۱، ۲ و ۳ (و همینطور نقطه ۴ که واقع در مرکز واحد مسکونی بوده و در معرض مستقیم باد کولر خروجی از دریچه ها نمی باشد) اندازه گیری شده است. آزمایشات در طول روز از ساعت ۱۰ صبح الی ۷ عصر به طور پیوسته بدون انقطاع کارکرد کولر صورت گرفته است. کولر برای رسیدن به شرایط پایدار از ساعت ۹ صبح یعنی یک ساعت قبل از شروع آزمایش ها روشن شده و در راس ساعات ۱۰ صبح، ۱۲ ظهر، ۲، ۴، ۶ و ۷ بعد از ظهر تمام داده ها از جمله دمای های خشک و رطوبت نسبی در همه این ۴ موقعیت و همچنین مقادیر آب مصرفی کولر (آب تبخیر شده) توسط کنتور آب به طور همزمان قرائت و ثبت شده است. برای تایید صحت نتایج آزمایش های به عمل آمده تمام آزمایشات در سه روز متوالی برای هر دور کند و تند موتور کولر تکرار شده است. برای سنجش دمای خشک از ۴ دستگاه دما منج تولیدی کارخانه شیوا امواج با دقت ۱ درجه سانتیگراد با سنسور TK با گستره دمایی بین ۲۰- الی ۹۹ درجه سیلیسیوس استفاده شده و برای سنجش رطوبت نسبی از ۴ دستگاه اندازه گیری ساخت کارخانه شده است که در حدود دمای مرطوب مربوط به شرایط هوا و برودتی است و این بیانگر غیر عایق بودن فرایند تبخیر در کولر آبی موردنظر می باشد. منحنی عملکرد یک نمونه پمپ آب سیرکولاسیون تولیدی کارخانه متوثون ایران مطابق شکل ۳، در کار فعلی به طور تجربی با تغییر هد اعمال شده و اندازه گیری دبی آبدھی این پمپ بدست آورده شده است.



شکل ۳: منحنی عملکرد پمپ آب سیرکولاسیون برای دور موتور 2800 rpm.

لازم به ذکر است که هد پمپ در شرایط مورد آزمایش در کولر مورد نظر حدود ۱۰۰ cm بوده، لذا میزان آبدھی پمپ آب در این هد طبق شکل ۳

$$\epsilon = 1 - \exp \left(-\frac{h_{c,A}}{\dot{m}_a \cdot C_{pu}} \right) \quad (12)$$

مقدار اثر پذیری (۴) از معادله (۱۱) به طور تجربی با اندازه گیری مستقیم دماهای خشک و برودتی و خروجی کولر و دمای سطح فیلم آب پوشال (دمای مرطوب برای شرایط هوای و برودتی به کولر) مستقیماً قابل محاسبه می باشد. همینطور این مقدار با کمک داشتن مقادیر تئوری h_c از معادله (۳) و C_{pu} (متوسط و برودتی و خروجی) از معادله (۸) به طور تئوری قابل محاسبه می باشد.

طبق استاندارد تدوین شده سازمان ملی استاندارد به شماره ۴۹۱۱ [۱۱]، بازده سرمایشی کولر آبی با عنوان درصد بازده تبخیر مطابق معادله (۱۱) طبق تعریف اثر پذیری (۴) بیان شده است. همچنین طبق تعریف نسبت بازده انرژی ^۱ (EER) برای تعیین شاخص بازده انرژی به شکل زیر تعریف می شود [۱۲]:

$$EER = \frac{\dot{q}_s}{P_t} \quad (13)$$

که P_t و \dot{q}_s به ترتیب مقادیر توان حرارتی محسوس و توان مصرفی الکتریکی کولر می باشند که \dot{q}_s به صورت زیر پیدا می شود:

$$\dot{q}_s = Q \cdot \rho \cdot C_{Pa} \cdot (T_{db1} - T_{db2}) \quad (14)$$

یا مقدار توان الکتریکی اکتیو نیز در کار فعلی برای کارکرد کولر با شرایط واقعی در دورهای مختلف (دورهای کند و تند موتور کولر) به طور تجربی اندازه گیری شده است (توضیحات بیشتر در بخش اندازه گیری تجربی آورده شده است).

مقادیر بازده های سرمایشی از جمله ϵ و EER به صورت تجربی و تئوری با تعريف بیان شده از معادلات (۱۱-۱۳) پیدا و در قسمت نتایج بیان شده اند.

۴-۴- دبی هوا و دبی آب سیرکولاسیون

با کمک مقادیر تجربی دبی آب مصرفی (آهنگ جرمی آب تبخیر شده) و انرژی نهان تبخیر می توان کل آهنگ انرژی محسوس گرفته شده از هوا و عبوری را که با تبخیر همین مقدار آب مصرفی حاصل می شود برآورد کرد. از روی دبی جرمی آب مصرفی اندازه گیری شده ($\dot{m}_{w,s}$) می توان مقدار دبی هوا و عبوری از روی کولر را (ظرفیت هواده) از معادله (۱) به شرح زیر پیدا کرد:

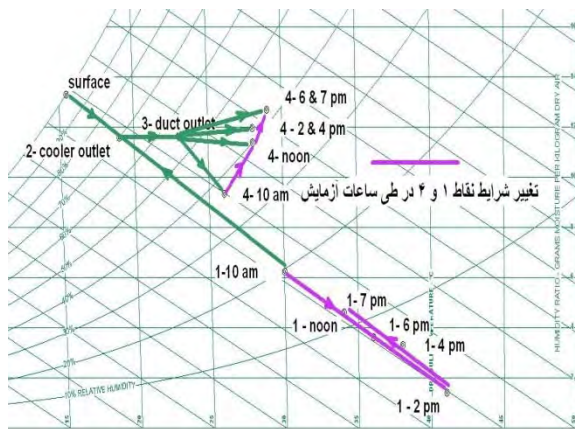
$$\dot{m}_a = \frac{\dot{m}_{w,s}}{(W_2 - W_1)} \quad (15)$$

در تمام کولرهای آبی تولیدی ایران از یک موتور پمپ آب تک سایز برای سیرکولاسیون با آبدھی یکسان (با پره های مشابه) استفاده می شود که از نوع آستکرون می باشند. دور موتور پمپ آب و پروفیل پروانه آن ثابت و از اینرو دبی آبدھی این پمپ ثابت بوده و امکان تغییر آبدھی این پمپ با کمک مشخصات برق و برودتی آن وجود ندارد [۱]. آهنگ دبی آب سیرکولاسیون برای تمام سایزهای هواده کولر ها حتی با تغییر دور موتور کولر ثابت می ماند.

۵- اندازه گیری های تجربی در کار فعلی

در کار فعلی یک کولر آبی تولیدی کارخانه جهان افروز مدل JAC 700 با طرفیت هواده $8200 \text{ m}^3/\text{hr}$ مورد آزمایش قرار گرفته است. موتور کولر ساخت کارخانه متوثون بوده و دارای قدرت نامی $\frac{3}{4}$ اسب بخار می باشد. کولر

^۱ Energy Efficiency Ratio



شکل ۵: موقعیت نقاط ۱ الی ۴ روی منحنی سایکومتریک برای دور تند کولر

با کمک اشکال ۴ و ۵ مقادیر حجم مخصوص هوای خشک عبوری از کولر با متوسط گیری در نقاط ۱ و ۲ به ترتیب برای دورهای مختلف کند و تند کولر برابر $\frac{m^3}{kg}$ ۰.۸۶ و ۰.۸۵ پیدا می شوند. با فرض اینکه دبی هوای عبوری از کولر با دور فن رابطه مستقیم داشته باشد و ظرفیت هوادهی کولر در دور بالا حدود $\frac{m^3}{hr}$ ۸۲۰۰ است، با توجه به مقدار تغییر دور موتور از دور کند به تند (برابر ۱.۵ برابر) می توان مقدار هوادهی کولر را در دور کند موتور برابر $\frac{m^3}{hr}$ $5470 = \frac{8200}{1.5}$ پیش گویی کرد.

با داشتن مقادیر تجربی دو مشخصه از جمله دمای خشک و رطوبت نسبی می توان مقادیر رطوبت مطلق را از نمودار سایکومتریک برای نقاط ۱ و ۲ قرائت کرد. از آنجاییکه خواص نقطه خروجی از کولر (نقطه ۲) در طی آزمایش در کل طول روز ثابت می ماند، مقادیر W_1 , T_w , T_2 و Cp_v طبق جدول ۲ در زیر برای دورهای مختلف موتور آورده شده اند:

جدول ۲: مقادیر ثابت Cp_v , T_2 , T_w , W_1 در دورهای مختلف کولر

Cp_v [kJ/kg.K]	T_2 (oC)	T_w دمای سطح خیس پوشال (oC)	W_1 kg_v $kg_{dry air}$	دور کولر
1.87	19	16.2	0.00985	کند
1.87	18	14	0.00825	تند

بر مبنای دمای خشک و رطوبت نسبی برای نقطه ۱ می توان مقادیر W_1 را از منحنی سایکومتریک پیدا و آهنگ حجمی و جرمی هوای عبوری از کولر با توجه به معادلات (۱۵-۱۶) را در طی ساعات آزمایش محاسبه کرد، نتایج در جدول ۳ و ۴ به شرح زیر آورده شده اند:

جدول ۳: مقادیر دبی حجمی و جرمی هوای گذری از کولر با دور کند موتور

دبی حجمی هوای عبوری ($m^3/a/hr$) (۱۶)	دبی جرمی هوای عبوری ($kg a/hr$) (۱۵)	دبی جرمی آب صرفی ($kg w/hr$) (اندازه گیری تجربی)	تبادل:
2866	2465	10.6	10
3089	2657	13.9	12
2288	1968	16.6	14

برابر ۶۰۲ lit/hr درنظر گرفته شده است. با تغییر دور موتور کولر از کند به تند، دور فن دمنده (که با تسمه به همدیگر متصل هستند) تغییر کرد و مقادیر فوق به طور تجربی اندازه گیری شده است.

دور موتور کولر، فن دمنده برای دورهای کند و تند موتور و محور پمپ با یک دور سنج لیزری (بدون تماس) با دقت +/- ۵ rpm مقدار دور پمپ آب سیرکولاژیون برابر نتایج در جدول ۱ ثبت شده اند. مقدار دور طبق رابطه زیر رسید:

$$\rho_a = \frac{1}{v_a} = \frac{\dot{m}_a}{\dot{v}_a} \quad (16)$$

جدول ۱: دور های موتور کولر و فن دمنده، ظرفیت هوادهی نامی کولر و توان اکتیو موتور کولر مورد استفاده

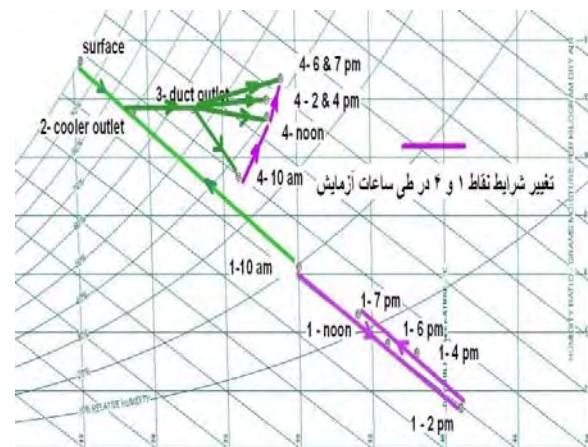
کل توان اکتیو مصرفی کولر (جمع موتور و پمپ آب)* (kW)	هوادهی نامی کولر (m^3/hr)	دور فن دمنده (rpm)	دور کولر (rpm)
0.240+0.02=0.260	-	288	960 (کند)
0.450+0.02=0.470	8200	430	1425 (تند)

(*) توان مصرفی پمپ آب سیرکولاژیون برابر ۲۰ وات می باشد.

با کمک کنتور مجزا که در سر راه آب مصرفی کولر نصب شده، در ساعات مختلف روز در طی آزمایش برای سرعت های مختلف دور موتور کولر، می توان مقادیر آب مصرفی را ثبت و سپس آهنگ آب مصرفی را پیدا کرد.

۳- نتایج

شکل های ۴ و ۵ موقعیت های های نقاط ۱ الی ۴ را در طی آزمایشات کولر به ترتیب برای دورهای کند و تند موتور بر روی منحنی سایکومتریک بر حسب ساعت مختلف روز نشان می دهند.

شکل ۴: موقعیت نقاط ۱ الی ۴ روی منحنی سایکومتریک
برای دور کند

بر اساس دبی جرمی هوا محاسبه شده (جدول ۳ و ۴)، بار سرمایشی از معادله (۱۴) و نسبت بازده انرژی (EER) از معادله (۱۳) محاسبه و در جدول ۷ آورده شده اند.

جدول 7: مقادیر بار سرمایشی و نسبت بازده انرژی (EER)

دور تند		دور کند		
نسبت بازده انرژی (EER) (معادله ۱۳)	توان سرمایشی q_s (kW) (معادله ۱۴)	نسبت بازده انرژی (EER) (معادله ۱۳)	توان سرمایشی q_s (kW) (معادله ۱۴)	
۲۹۰۴	13.6	۲۹۱۲	۷.۶	10
۳۷۶۳	17.7	۴۲۸۰	۱۱.۱	12
۳۵۱۹	16.5	۴۶۴۹	۱۲.۱	14
۳۳۱۲	15.6	۵۲۸۹	۱۳.۸	16
۳۵۰۹	16.5	۴۶۴۴	۱۲.۱	18
۲۹۳۷	13.8	۵۰۹۳	۱۳.۲	19

با انتگرال گیری از معادله (۹) می توان داشت:

$$\dot{Q}_c = h_c A_s \Delta T_{lm} \quad (17)$$

توان نهان افزوده شده به هوا عبوری در کولر ($\dot{m}_{w,s} h_v$) در طی عبور از پوشال با داشتن مقادیر تحریبی آهنگ مصرف (آنگ تبخیر) و انتالپی بخار (2555 kJ/kg) در متوسط دماهای خشک هوا و رودی و خروجی (برابر kg قابل حصول است. مقادیر $\dot{m}_{w,s} h_v$, \dot{q}_s , \dot{Q}_c , ΔT_{lm} برای دورهای کند و تند به ترتیب در جداول ۸ و ۹ آورده شده اند. همانطور که قبل اشاره شده، برای محاسبه توان های حرارتی محسوس \dot{Q}_c و \dot{q}_s از مقدار دبی جرمی هوا محاسبه شده در کار فعلی استفاده شده، ولی اگر برای مقدار \dot{q}_s از ظرفیت نامی کولر استفاده شود مقدار جدید آن برابر \dot{q}_{ss} نامگذاری شده است. مقادیر توان های محسوس و نهان اشاره شده در بالا برای دورهای مختلف کولر در جداول ۸ و ۹ آورده شده اند.

جدول 8: مقایسه مقادیر حاصله از معادلات ۴، ۱۷ و ۱۴ برای دور کند

\dot{q}_{ss} (kW)	$\dot{m}_{w,s} h_v$ (kW)	\dot{q}_s (kW)	\dot{Q}_c (kW)	ΔT_{lm} (K)	
14.4	7.5	7.6	3.81	5.1	10
19.7	9.9	11.1	5.59	5.8	12
28.9	11.8	12.1	6.04	6.9	14
24.9	12.1	13.8	6.89	6.4	16
22.3	11.3	12.1	6.05	6.1	18
19.7	11.8	13.2	6.65	5.8	19

جدول 9: مقایسه مقادیر حاصله از معادلات ۴، ۱۷ و ۱۴ برای دور تند

3014	2592	16.9	16
2958	2544	15.9	18
3676	3161	16.6	19

جدول ۴: مقادیر دبی حجمی و جرمی هوا از کولر در دور تند

دبی حجمی هوا عبوری (m³a/hr) (۱۶)	دبی جرمی هوا عبوری (kg a/hr) (۱۵)	دبی جرمی آب مصرفی (kg w hr) (اندازه گیری تجربی)	
3777	4444	18	10
4142	4873	21.2	12
3357	3949	22.8	14
3385	3982	22.9	16
4184	4923	22.4	18
3820	4494	20.5	19

با مقایسه مقدار نامی ظرفیت هوادهی کولر مورد آزمایش در دور بالا (8200 m³/hr) با مقدار هوادهی محاسبه در جدول ۴ مشاهده می شود که این دو اختلاف بزرگی با همدیگر دارند. لذا در ادامه محاسبات از مقادیر دبی هوا عبوری شده در کار فعلی استفاده شده است.

مقادیر $h_c A_s$ و $C_p u$ از معادلات (۳) و (۶) پیدا شده و نهایتاً مقدار تئوری اثرپذیری (ε) از معادله (۱۲) پیدا و می توان آنرا با مقدار تجربی حاصله از معادله (۱۱) مقایسه کرد. نتایج در جداول ۵ و ۶ آورده شده اند.

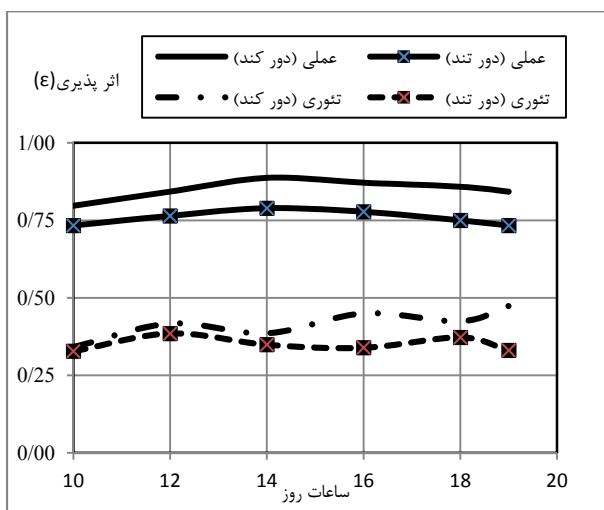
جدول ۵: مقادیر $h_c A_s$ و اثر پذیری (ε) تئوری و تجربی در دور کند

ε تجربی معادله (۱۱)	ε تئوری معادله (۱۲)	$h_c A_s$ معادله (۳) (kW/K)	$\frac{W_1}{kg_v}$ $\frac{kg_{dry\ air}}{kg_{dry\ air}}$ (از منحنی سایکومتریک)	T _{db1} (°C)	
0.80	0.34	0.75	0.0056	30	10
0.84	0.42	0.97	0.0046	34	12
0.89	0.39	0.88	0.0014	41	14
0.87	0.45	1.07	0.0013	38	16
0.86	0.42	0.99	0.0036	36	18
0.84	0.47	1.16	0.0046	34	19

جدول 6: مقادیر اثر پذیری (ε) تئوری و تجربی در دور تند

ε تجربی معادله (۱۱)	ε تئوری معادله (۱۲)	$h_c A_s$ معادله (۳) (kW/K)	$\frac{W_1}{kg_v}$ $\frac{kg_{dry\ air}}{kg_{dry\ air}}$ (منحنی سایکومتریک)	T _{db1} (°C)	
0.73	0.33	1.08	0.0042	29	10
0.76	0.39	1.33	0.0039	31	12
0.79	0.35	1.17	0.0025	33	14
0.78	0.34	1.13	0.0025	32	16
0.75	0.37	1.27	0.0037	30	18
0.73	0.33	1.09	0.0037	29	19

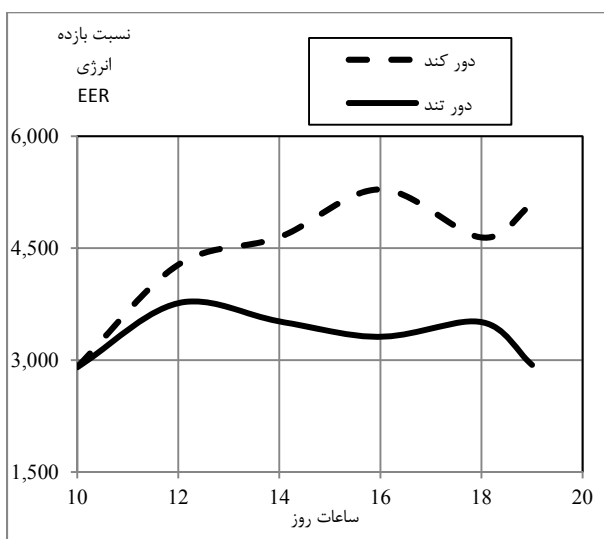
مقادیر اثر پذیری (ϵ) تئوری و تجربی بر اساس جداول 5 و 6 در شکل 8 برای دورهای مختلف کولر با یکدیگر مقایسه شده اند.



شکل 8: مقایسه اثر پذیری یا درصد بازده تبخیر (ϵ) تئوری و تجربی در دورهای کند و تندر کولر

با اینکه اولاً حداکثر دمای محیط مربوط به روز آزمایش دور تندر حدود 8 درجه نسبت به حداکثر دما در روز آزمایش دور کند کمتر بوده و ثانیاً دمای مربوط سطح پوشال در آزمایش دور تندر نسبت به دمای مشابه در آزمایش دور کند کمی پائین تر بوده ولی از شکل 8 ملاحظه می شود که مقدار اثر پذیری (تئوری و تجربی) در دور کند نسبت به دور تندر بیشتر است و این بیانگر عدم انتقال حرارت مناسب در سطح پوشال در دور بالای کولر می باشد.

نسبت بازده انرژی (EER) در ساعات مختلف روز برای دورهای مختلف کولر در شکل 9 با هم مقایسه شده اند. و با مقایسه نسبت بازده انرژی (EER) در دورهای مختلف نیز دیده می شود که عملکرد کولر در دور کند بهتر از دور تندر آن است.

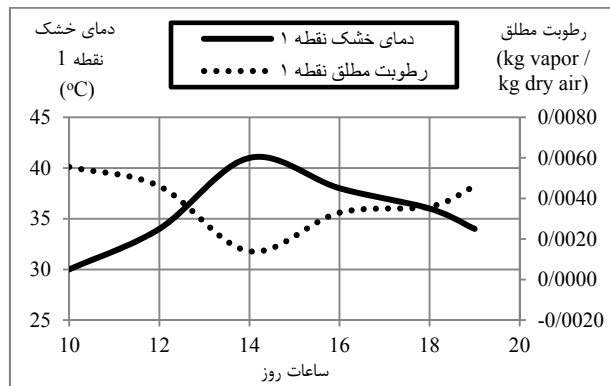


شکل 9: مقایسه نسبت بازده انرژی (EER) برای دورهای مختلف کولر

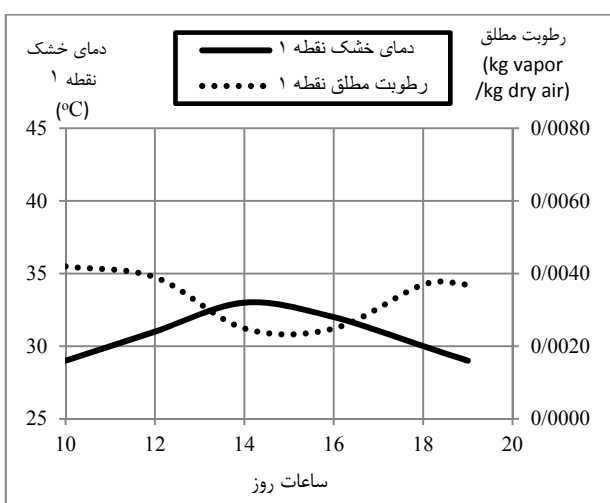
اولین کنفرانس بین المللی تپویه مطبوع و تاسیسات حرارتی و برودتی

\dot{q}_{ss} (kW)	$\dot{m}_{w,s}h_v$ (kW)	\dot{q}_s (kW)	\dot{Q}_c (kW)	ΔT_{lm} (K)	$\frac{\text{نیاز}}{\text{نیاز}}$
21.4	12.8	13.6	6.9	6.4	10
25.3	15.0	17.7	8.9	6.7	12
29.2	16.1	16.5	8.3	7.1	14
27.2	16.3	15.6	7.8	6.9	16
23.4	15.9	16.5	8.3	6.5	18
21.4	14.5	13.8	7.0	6.4	19

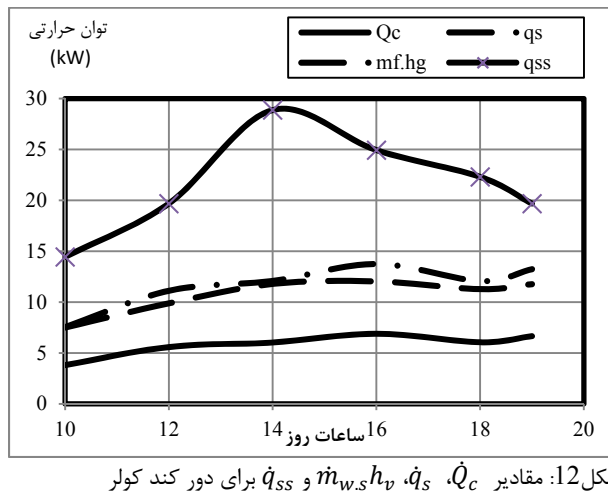
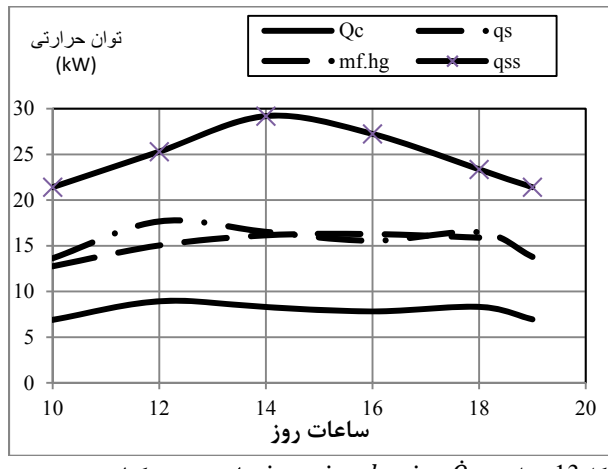
مقادیر توان محسوس و نهان فوق در اشکال 9 و 10 برای دورهای مختلف کولر نمایش داده شده اند.



شکل 6: دمای خشک و رطوبت مطلق اتمسفر (نقطه 1) در آزمایش دور کند در اشکال 6 و 7 مقادیر دمای خشک و رطوبت نسبی برای دورهای مختلف کولر بر حسب ساعت روز آورده شده اند.



شکل 7: دمای خشک و رطوبت مطلق اتمسفر (نقطه 1) در آزمایش دور تندر همانطوریکه از اشکال 4 الی 7 مشاهده می شود، در طول روز با افزایش دمای خشک محیط، رطوبت آن (مطلق یا نسبی) ابتدا تا حدود ساعت 14 روز کاهش یافته ولی بعد از آن با گذشت زمان دمای خشک محیط کاهش میزان رطوبت افزایش می یابد. حداکثر دما یا حداقل رطوبت در حدود ساعت 14 روز اتفاق می افتد.

شکل 12: مقادیر \dot{Q}_c , qs , $mf.hg$ و qss برای دور کند کولرشکل 13: مقادیر \dot{Q}_c , qs , $mf.hg$ و qss برای دور تند کولر

لازم به یادآوری است که مقادیر \dot{Q}_c , qs , $mf.hg$ و qss در اشکال 12 و 13 بر اساس دبی جرمی هوایی که بر پایه مقادیر آب مصرف شده بدست آمده (معادله (15)) محاسبه شده اند. ولی توان محسوس qss از دبی نامی هوای کولر محاسبه شده است. مقدار \dot{Q}_c از دیگر مقادیر کوچک تر می باشد. مقادیر مربوط به توان نهان $m_{w,s}h_v$ و توان محسوس qs به نحو مطلوبی به همدیگر نزدیک اند. ولی مقادیر توان محسوس qss تفاوت چشمگیری با دیگر مقادیر دارد و همواره بیشتر از دیگر مقادیر می باشد.

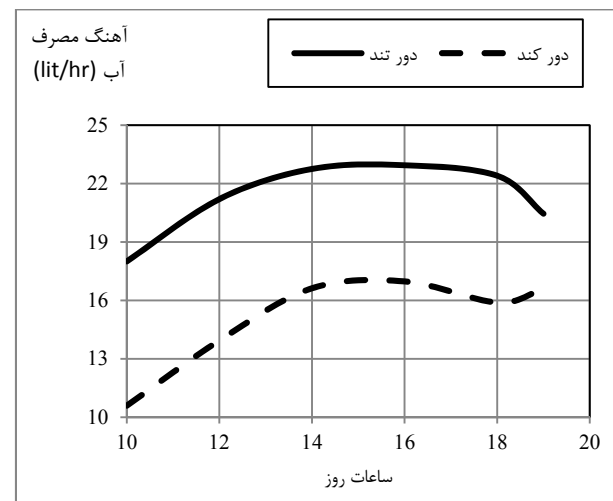
نتیجه گیری:

الف- ضریب انتقال حرارت جابجایی در دورهای مختلف کولر و در ساعت مختلف روز محاسبه شده (شکل 11) و دیده می شود که این ضریب در دور تند کولر نسبت به دور کند (با توجه به افزایش عدد رینولدز) افزایش یافته است.

ب- هر چند در کار فعلی دبی جرمی هوای عبوری از کولر به طور تجربی اندازه گیری نشده ولی مقدار qss (در اشکال 12 و 13) از مقادیر قبل انتظار $m_{w,s}h_v$ و qs به مقدار زیادی بالاتر است و این دلیلی بر عدم صحت ظرفیت نامی کولر مورد آزمایش می باشد.

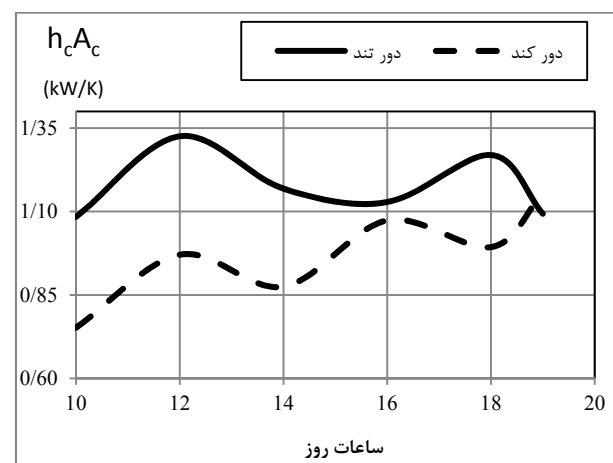
پ- فاصله مقادیر \dot{Q}_c با مقادیر مربوط به qs و qss (در اشکال 12 و 13) نشان دهنده خطاهایی به حساب نیامده در کار فعلی از جمله:

آهنگ مصرف آب (آهنگ تبخیر) در طی ساعت مختلف روز برای دورهای مختلف کولر در شکل 10 با هم مقایسه شده اند. مشاهده می شود که مصرف آب در ساعت مربوط به حداکثر دمای خشک محیط (یا حداقل رطوبت محیط) به حداکثر خود می رسد.



شکل 10: مقایسه آهنگ مصرف آب برای دورهای مختلف کولر

مقادیر حاصل ضرب ضرایب تنویری انتقال حرارت محسوس در سطح موثر پوشال برای دورهای مختلف کولر در شکل 11 با یکدیگر مقایسه شده اند. از این شکل تنها این نتیجه را می توان گرفت که به دلایل سرعت بیشتر هوای روزی پوشال، انتقال حرارت بهتری از پوشال به هوای عبوری صورت گرفته است.



شکل 11: مقایسه حاصل ضرب ضریب انتقال حرارت در سطح موثر پوشال در دورهای کند و تند کولر

در نهایت مقادیر توان محسوس \dot{Q}_c بر اساس معادله (17)، توان محسوس qss از معادله (14)، توان نهان آب تبخیر شده (از حاصل ضرب دبی جرمی آب مصرفی در انتالپی بخار آب در دمای خشک متوسط هوای ورود و خروج به کولر پیدا شده) و qss توان محسوس از معادله (14) با احتساب دبی هوای نامی طبق جدول 8 و 9 محاسبه و در اشکال 12 و 13 به ترتیب برای دورهای کند و تند جهت مقایسه آورده شده اند.

t	بار سرمایشی، kW
\dot{V}	بار سرمایشی بر حسب ظرفیت نامی کولر، kW
W	دما، $^{\circ}\text{C}$ یا $^{\circ}\text{K}$
	دما، $^{\circ}\text{C}$ یا $^{\circ}\text{K}$
	دبی حجمی، m^3/sec یا m^3/hr
	رطوبت مطلق، $\frac{\text{kg}}{\text{kg}} \times \text{بخار آب}$
	علائم یونانی
α	ضریب نفوذ حرارتی، m^2/sec
Δ	اختلاف
ρ	چگالی، (kg/m^3)
ε	اثر پذیری
a	زیرنویس‌ها
lm	هوای خشک
u	لگاریتمی
v	مخلوط هوای خشک و بخار آب
w	بخار آب
s	آب مایع
1 to 4	تجذیه شده (ورودی)

معرف نقاط ورودی به کولر، خروجی از کولر، خروجی دریچه اتاق و شرایط داخل اتاق

مراجع

- [1] امیر دودابی، مونا و نوی فرد، بررسی فنی و اقتصادی روشها و منافع افزایش کارایی مصرف انرژی در کولرهای آبی، www.saba.org.ir/saba_content/media/image/2013/07/5546_orig.pdf
- [2] Franco A, Valera DL, Madueno A, Pena A. "Influence of water and air flow on the performance of cellulose evaporative cooling pads used in Mediterranean greenhouse" *Trans ASABE* 2010; 53:565–76.
- [3] Wang T., *Heat and mass transfer characteristics of indirect evaporative cooling system* [PhD thesis], Marquette University, Milwaukee, Wisconsin, USA, 1994.
- [4] MU'AZU M, *Novel Evaporative Cooling Systems for Building Applications*, [PhD thesis], University of Nottingham, UK, 2008.
- [5] Kachhwaha S. S. and Prabhakar S., "Heat and mass transfer study in a direct evaporative cooler" *J. of*

اولین کنفرانس بین المللی تپویه مطبوع و تاسیسات حرارتی و برودتی

- هدر رفت آب به محیط اطراف (تبخیر آب بدون ورود به درون کولر) می‌تواند باشد.
- توسعه و بسط بیشتر مدل انتقال حرارت برای پوشال به کار رفته (از جنس براده چوبی) با توجه به تغییر سرعت هوای عبوری از روی پوشال
- مقادیر اثر پذیری تئوری و تجربی در دور کند کولر از مقدار مشابه در دور تند بیشتر است و این نشان دهنده عدم تطابق و هم خوانی مجموعه مکانیکی (طراحی فن و مشخصات هندسی کانال‌های کولر) با نیازهای ترمودینامیکی سیال هوای آب عبوری از روی پوشال دارد. و از این‌رو بررسی بیشتر مشخصات مکانیکی فن دمنده و طراحی کانال‌ها احساس می‌شود.
- مشابه مورد قبلی نسبت بازده انرژی (EER) نیز برای دور کند بیشتر از مقدار آن در دور تند می‌باشد، لذا کارکرد با دور کند برای این سایز کولر لایی مصرف کنندگان توصیه می‌شود.
- لازم به ذکر است با توجه به سطح آزاد آب در داخل و در روی سطح کف تحتانی کولر، بر حسب اندازه گیری بعمل آمده بر آب مصرفی کولر، در کار فعلی بنا بر میزان رطوبت محیط در طول 12 ساعت شب که کولر خاموش بوده، تنها از این سطح بین 1 الی 2 لیتر آب مصرف (یا تبخیر) می‌شود. برای جلوگیری از این هدر رفت آب می‌توان طرح هایی ارائه گردد تا از وجود این سطح آزاد آب در کف سطح داخل کولر جلوگیری گردد.

تشکر و قدردانی:

در اینجا لازم است از حمایت‌های مالی دانشگاه بیرجند از طرح پژوهشی در سال 1393 که کار فعلی حاصل آن می‌باشد تشکر و قدردانی به عمل آید.

فهرست علائم

A_s	مساحت سطح تماس پوشال (m^2)
C_p	گرمای ویژه در فشار ثابت (kJ/kg K)
D_v	ضریب نفوذ بخار آب به هوای
EER	m^2/sec
h_c	نسبت بازده انرژی
h_m	ضریب انتقال حرارت جابجایی ($\text{kW}/\text{m}^2\text{K}$)
h	ضریب انتقال جرم ($\text{kg}/\text{m}^2\text{.sec}$)
Le	انتالی (kJ/kg)
\dot{m}	عدد لوویز ($Le = \frac{\alpha}{D_v}$)
P_t	دی جرمی، kg/sec
\dot{Q}	توان کل برق مصرفی کولر، kW
Q	توان انتقال حرارتی محسوس، kW
\dot{q}_s	حرارت منتقله محسوس، kJ
\dot{q}_{ss}	
T	

Scientific & Industrial Research, Vol. 69, Sept. 2010, pp. 705-710.

- [6] Suoying H. and et al, "Experimental study of film media used for evaporative pre-cooling of air" *J. of Energy Conversion and Management*, Vol. 87, 2014, pp. 874-884.
- [7] Ndukwa, M. C. and et al, "Mathematical Model for Direct Evaporative Space Cooling Systems" *Nigerian J. of Technology (NIJOTECH)*, Vol. 32, No. 3. November 2013, pp. 403-409.
- [8] Watt JR, Brown WK. *Evaporative air conditioning handbook*. 3rd ed. Lilburn, Georgia, USA: Fairmont Press Inc.; 1997
- [9] Kimball B. A. and et al, "Heat and Mass Transfer Coefficients for Water and Air in Aspen Excelsior Pads" *ASAE*, Vol. 20, No. 3, 1977, pp. 509-514.
- [10] Canargo, J. R. and et al, "A Mathematical Model for Direct Evaporative Cooling Air Conditioning System" *Engenharia Termica*, No. 4, 2003, pp. 30-34.
- [11] استاندارد تحت عنوان: کولر آبی - روش‌های آزمون، ISIRI 4911 ویرایش اول، تدوین شده سازمان ملی استاندارد ایران.
- [12] استاندارد تحت عنوان: کولر آبی خانگی - مشخصات فنی و روش آزمون تعیین معیار مصرف انرژی و دستورالعمل بر چسب انرژی، ISIRI 4910-2 ویرایش اول، تدوین شده سازمان ملی استاندارد ایران، 1388.